

ГИДРОДИНАМИЧЕСКИЕ СИЛЫ ПРИ УДАРЕ ТУПЫХ ТЕЛ О ПОВЕРХНОСТЬ СЖИМАЕМОЙ ЖИДКОСТИ

**В. А. ЕРОШИН, Н. И. РОМАНЕНКОВ,
И. В. СЕРЕБРЯКОВ, Ю. Л. ЯКИМОВ**

(Москва)

Исследованию влияния сжимаемости при ударе тупых тел о поверхность жидкости посвящено большое количество теоретических и экспериментальных исследований [1-3], так как оценки сил по теории несжимаемой жидкости в ряде случаев оказываются сильно завышенными. Например, максимальное значение ударной силы для конуса с углом раствора 170° при числе Маха $M=0.35$ ($M=v/a$, v — скорость удара, a — скорость звука в жидкости), рассчитанное по теории несжимаемой жидкости, почти в пять раз превышает действительное значение силы.

Теоретическое исследование удара тупых тел о поверхность жидкости представляет большие трудности. Аналитические решения получены лишь в акустическом приближении при симметричном вертикальном ударе о поверхность сжимаемой жидкости тел простейшей формы (диск, тупой конус) [3-5]. Имеющиеся аналитические решения позволяют оценивать максимальные значения сил при ударе тупых тел о поверхность сжимаемой жидкости, а в отдельных случаях имеет место количественное совпадение. Однако характер нарастания силы до максимума эти решения даже качественно описывают не всегда верно. В статье исследована зависимость от времени ударных нагрузок, действующих на диск, тупые конусы с углами раствора 150 , 160 , 170° и полусферу при ударе о поверхность сжимаемой жидкости для чисел Маха от нуля до 0.7 . Приведенные экспериментальные результаты получены двумя методами: во всем диапазоне чисел Маха путем физического моделирования при ударе тел о поверхность жидкости с низкой скоростью звука и в диапазоне $0.05-0.15$ при ударе диска о воду. В зависимости от числа Маха определены значения максимальных ударных коэффициентов сопротивления и безразмерного времени нарастания силы до максимума. Проведен анализ полученных экспериментальных результатов и имеющихся теоретических решений.

1. Моделирование движения тел в сжимаемой жидкости. При моделировании движения тел в сжимаемой жидкости одним из основных параметров подобия является число Маха и проведение экспериментов при использовании в качестве рабочей жидкости воды или любой другой капельной жидкости встречает значительные трудности, так как в связи с большой скоростью звука в жидкостях учет сжимаемости приводит к необходимости проведения экспериментов при большой скорости движения и крайне малом времени протекания процесса. Стремление уменьшить скорость движения и растянуть процесс во времени при сохранении числа Маха приводит к необходимости использования в качестве рабочей жидкости среды с низкой скоростью звука. В качестве такой жидкости можно взять мелкодисперсную среду — жидкость с пузырьками газа, скорость звука в которой значительно ниже, чем в воде, и зависит от объемной концентрации газа.

При ударе тел о воду, когда давления не превосходят 30000 атм, даже при наличии ударных волн движение можно считать баротропным, $\rho=\rho(P)$, причем изотерма при $T=290^\circ$ К, изэнтропа и ударная адиабата практически совпадают. Если пренебречь весомостью и вязкостью, то в задачу помимо начальной плотности, параметров, характеризующих гео-

метрию тела и его движение, констант, характеризующих функцию $\rho(P)$, входит давление на свободных поверхностях. В дальнейшем будем предполагать, что давления на этих поверхностях одинаковы и равны P_0 (если не равны и ими нельзя пренебречь, то соответствующая разность давлений должна быть специально организована в модельном эксперименте).

Представим $\rho(P)$ в виде

$$(1.1) \quad \rho = \rho_0 f \left(\frac{\Delta P}{\rho_0 a_0^2} \right)$$

где ρ_0 , a_0 — плотность и скорость звука в воде в невозмущенном состоянии, $\Delta P = P - P_0$, f — безразмерная функция. Таким образом, помимо констант, характеризующих геометрию и движение тела (в простейшем случае линейный размер L , начальная скорость v_0 и масса m), в уравнения движения воды, условия на ударной волне, начальные условия для воды (предполагаем для простоты, что до удара тела о воду последняя покоилась) и условия на свободных поверхностях входят в качестве определяющих параметров еще только ρ_0 , a_0 , а также безразмерная функция f .

Из перечисленных параметров можно составить только следующие критерии подобия: $m/\rho_0 L^3$, v_0/a_0 . Обеспечение первого критерия не вызывает затруднений, а для обеспечения второго крайне желательно в моделирующей среде иметь низкую скорость звука при идентичной с водой зависимостью f . Заметим, что $f(0) = f'(0) = 1$. Это свойство f непосредственно следует из равенств:

$$\rho|_{\Delta P=0} = \rho_0, \quad \left. \frac{d\rho}{dP} \right|_{\Delta P=0} = \frac{1}{a_0^2}$$

Поэтому при не очень больших давлениях, когда можно ограничиться линейной связью между давлением и плотностью, для моделирования достаточно выполнения условий: $m/\rho_0 L^3 = \text{const}$, $v_0/a_0 = \text{const}$.

Рассмотрим моделирующую мелкодисперсную среду — смесь жидкости с пузырьками газа. Уравнение состояния подобных сред при пренебрежении поверхностным натяжением и массой газа по сравнению с массой воды можно представить в виде

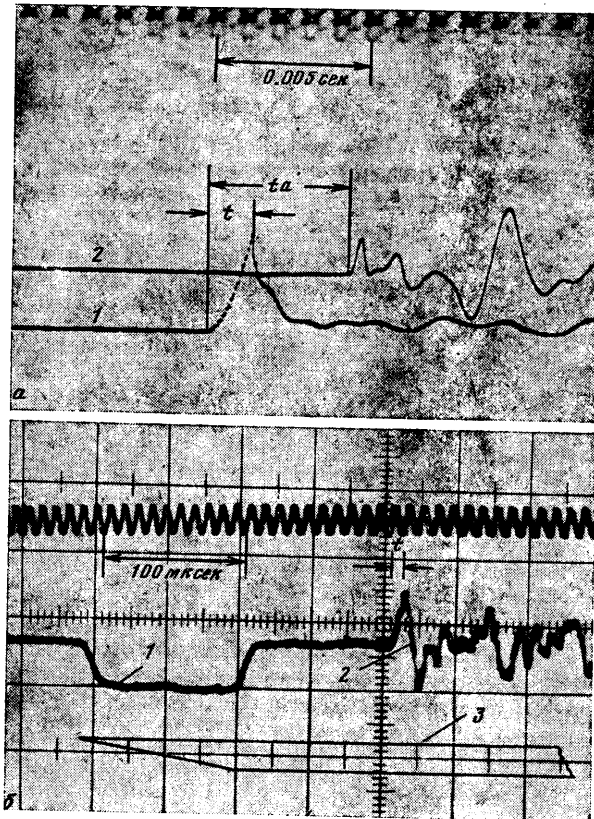
$$\rho_0 = \rho_0 \left[(1 - \alpha_0) + \alpha_0 \left(1 + \frac{\gamma}{\alpha_0} \frac{\Delta P}{\rho_0 a_0^2} \right)^{-1/\gamma} \right]^{-1}$$

где α_0 — объемная концентрация газа, γ — показатель адиабаты. Таким образом, функция f для такой среды зависит только от величины параметра α_0 . В работе [2] показано, что при $\alpha_0 = 1/3$ безразмерные функции f для воды и для пузырьковой среды практически совпадают и она хорошо моделирует свойства воды. Этот вывод был подтвержден экспериментами по определению скорости распространения ударных волн в зависимости от их интенсивности в вязкой жидкости, равномерно насыщенной мелкими пузырьками газа диаметром порядка 0.05 мм при объемной концентрации газа до 35%. Таким образом, равенство чисел Маха при совпадении безразмерных уравнений состояния воды и модельной жидкости наряду с геометрическим подобием, подобием в распределении масс и др. ведет к соответствию динамических и кинематических процессов, протекающих в этих жидкостях.

2. Методика проведения экспериментов. Рассмотрим вход тела в воду. В общем случае для тупого тела сложной формы, движущегося с большой скоростью, максимальное значение действующей на него силы можно представить в виде

$$F_{\max} = 1/2 \rho v_0^2 S C_x^{\max} (M, Re, Fr)$$

где ρ — плотность жидкости, v_0 — скорость тела, S — характерная площадь, а C_x^{\max} — безразмерная функция, зависящая в общем случае от чисел Маха $M=v_0/a_0$, Рейнольдса $Re=v_0L/\nu$ и Фруда $Fr=v_0/\sqrt{gL}$, где g — ускорение силы тяжести, L — характерный линейный размер и ν — кинематическая вязкость. Влияние чисел Рейнольдса и Фруда на ударные нагрузки при



Фиг. 1

входе тупых тел в жидкость несущественно, т. е. в дальнейшем будем считать, что $C_x^{\max} = C_x^{\max}(M)$ и определять эту зависимость экспериментально. Аналогичным образом можно найти и другие динамические и кинематические параметры.

Эксперименты по определению ударных нагрузок при вертикальном симметричном входе тел в среду с низкой скоростью звука проводились с моделями весом 4–5 кг при диаметре головной части 80 мм. Скорость модели изменялась в пределах 3–16 м/сек и измерялась с помощью фотоэлементов с выходом на цифровой индикатор времени. В процессе входа в воду с помощью электронного осциллографа производилась регистрация ускорения модели и скорости звука в среде a_0 , которая определялась как скорость распространения возмущений вблизи свободной поверхности (перепад давления в волне сжатия составлял ~ 0.01 атм). Плотность жидкости измерялась денсиметрами. Полученные в экспериментах значения a_0 сравнивались с теоретическими (адиабатическими) значениями

$$a_0 = \sqrt{\frac{\gamma P_0}{\rho_0 \alpha_0}}, \quad \rho_0 = \rho_f (1 - \alpha_0)$$

где P_0 — давление на свободной поверхности, ρ_f — плотность несущей жидкости. В основном расхождение теоретических и экспериментальных значений скорости звука лежит в пределах $\pm 5\%$. Отличие, по-видимому, объясняется некоторой неоднородностью жидкости (денсиметр определяет среднюю плотность жидкости в слое 10–15 см) и неодновременностью измерений. Отметим, что изотермическая скорость звука ($\gamma=1$) дает заниженное значение a_0 .

Величина максимального ускорения модели w , время нарастания силы и время распространения возмущений определялись из осциллограмм (фиг. 1, а), где 1, 2 — сигналы датчиков ускорения и давления, t — время нарастания силы, t_a — время распространения возмущения по свободной поверхности. Максимальные значения ударного коэффициента сопротивления C_x^{\max} и безразмерное время нарастания силы τ_{\max} определялись по формулам

$$C_x^{\max} = \frac{F_{\max}}{1/2 \rho v_0^2 S}, \quad \tau_{\max} = \frac{v_0 t}{R}$$

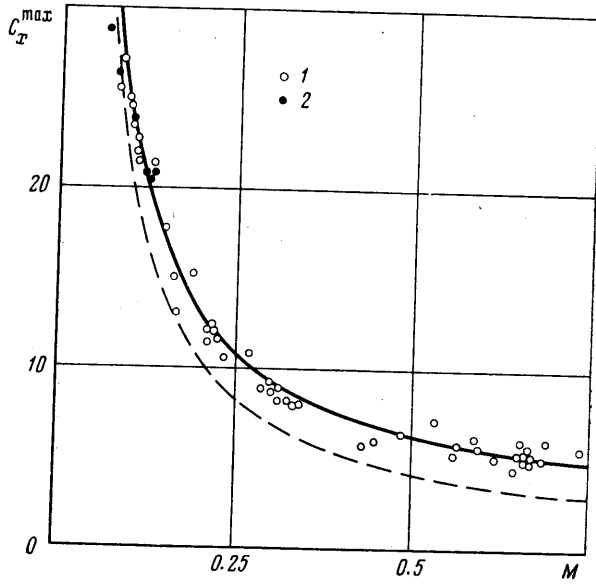
где $F_{\max} = mw$, m — масса модели, S — площадь мишени.

Эксперименты по входу в среду с низкой скоростью звука были сопоставлены с экспериментами по входу в воду. При этом модель представляла сплошной титановый цилиндр диаметром 30 мм, длиной 120 мм и выстреливалась из пневмопушки в воду со скоростями 100–200 м/сек. Для определения скорости модели и ускорения ее верхнего основания использовалась фотоэлектронная система с источником и приемником света, перекрываемым летящим телом, и электронная схема с двойным дифференцированием электрического сигнала [°]. Определение скорости модели и калибровка сигнала ускорения производились на начальном клиновидном участке формирователя светового потока, а определение ускорения верхнего основания — на прямоугольном участке (фиг. 1, б), где 1 — калибровочный сигнал при прохождении цилиндром клиновидного участка, 2 — сигнал ускорения, t — время нарастания ускорения до максимума.

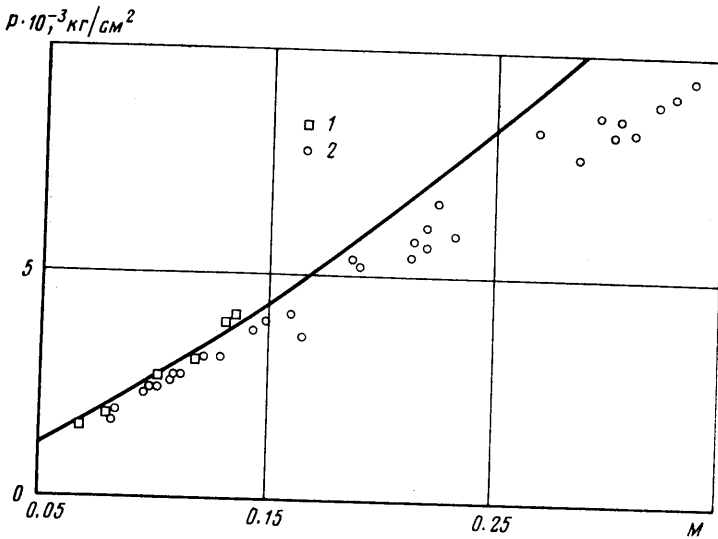
Величина удельного давления на нижнем основании цилиндра при его плоском ударе о воду определялась из соотношения в волне сжатия $P = krc\Delta v$, где ρ — плотность материала модели, c — скорость звука в ней, Δv — изменение скорости верхнего основания цилиндра при отражении от него волны сжатия. Ввиду существенной неоднородности волны давления коэффициент k не равен $1/2$, как это следует из одномерной теории, и в общем случае зависит от длины модели, формы ее головной части и относительной ширины щели. Однако при плоском ударе сплошного одномерного цилиндра о воду оказалось, что в исследованном диапазоне изменения этих параметров коэффициент k можно считать постоянным. Его величина была определена при небольших числах Маха из условия равенства давлений на контактной поверхности нижнего основания цилиндра с водой, рассчитанных по одномерной теории, и оказалась весьма близкой к единице ($k=1$).

3. Обсуждение экспериментальных результатов. Приведем экспериментальные значения C_x^{\max} и τ_{\max} при вертикальном симметричном входе в воду диска, тупых конусов и полусферы.

На фиг. 2 изображена зависимость C_x^{\max} диска от числа Маха (точками 1 изображены эксперименты по входу в среду с низкой скоростью звука, точками 2 — при входе в воду). Пунктирной линией проведено



Фиг. 2



Фиг. 3

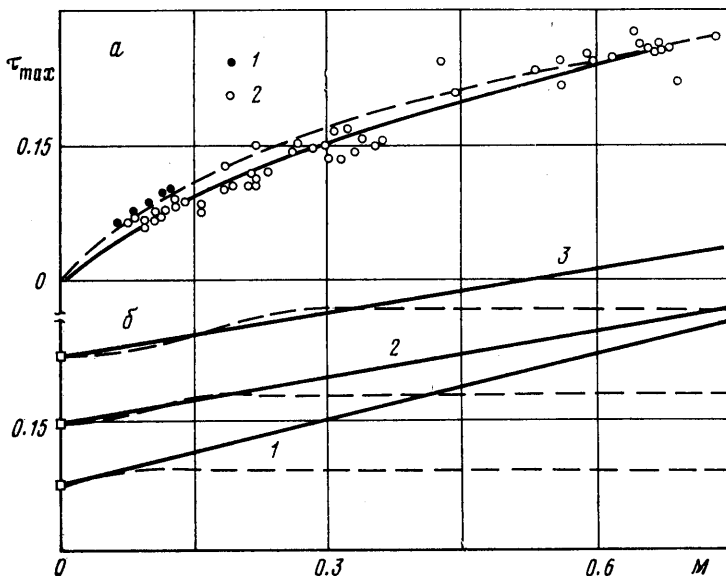
акустическое решение [3] ($C_x^{\max} = 2/M$), которое при малых значениях числа Маха удовлетворительно согласуется с экспериментальными результатами, а затем уходит вниз, причем асимптотика акустического решения при больших значениях числа Маха, по-видимому, неверна. Если не учитывать влияния воздушной подушки, то оценки максимального значения ударной силы сверху и снизу, очевидно, имеют вид

$$\rho_0 v_0 a_0 S < F_{\max} < \rho_0 v_0 D S$$

где D — скорость ударной волны, S — площадь диска. Однако, согласно [7], $D \approx a_0(1+2M)$ и для C_x^{\max} получаем

$$\frac{2}{M} < C_x^{\max} < \frac{2(1+2M)}{M}$$

Наличие воздушной подушки приводит к некоторому уменьшению давления на диске, однако с ростом числа Маха C_x^{\max} , по-видимому, стремится к константе, отличной от нуля (по результатам приведенных выше экспериментов, обчисланных методом наименьших квадратов, $C_x^{\max} = 1.87 + 2.13/M$).



Фиг. 4

На фиг. 3 приведена зависимость от числа Маха максимального удельного давления на диске. Точками 1 изображены результаты по входу в воду, точками 2 — эксперименты по входу в среду с низкой скоростью звука, пересчитанные на воду по формуле

$$(3.1) \quad P_{\max} = \frac{F_{\max}}{S} \frac{\rho_1 a_1^2}{\rho_2 a_2^2}, \quad M = \frac{v_1}{a_1} = \frac{v_2}{a_2}$$

где 1 — индекс воды, 2 — индекс среды с низкой скоростью звука. Сплошной линией изображена зависимость $P = \rho_0 v_0 D$. Из графика видно, что с ростом числа Маха влияние воздушной подушки растет и при больших числах Маха максимальное давление на диске не может рассчитываться по одномерной теории. Величины давления, полученные при входе диска в воду, близки к значениям давления, полученным по формуле (3.1) при входе в среду с низкой скоростью звука.

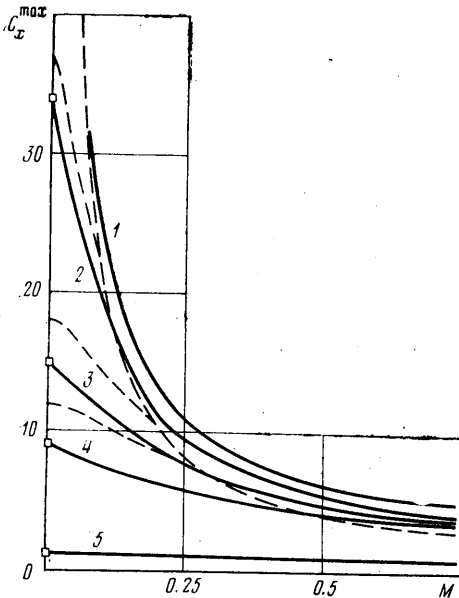
При плоском ударе диска о поверхность жидкости сила, действующая на него, принимает свое максимальное значение не мгновенно. В этом случае происходит захват газа из атмосферы — образуется так называемая воздушная подушка. Как показали эксперименты, время нарастания силы до максимума зависит от числа Маха, причем в результате сравнения этих времен при входе в воду и в среду с низкой скоростью звука оказалось, что имеет место неплохое количественное совпадение (за время нарастания силы в обоих случаях принималось время нарастания ускорения до максимума). Время нарастания силы до максимума приблизительно равно отношению радиуса диска к скорости звука за фронтом ударной волны $t =$

$=R/a(P)$, где P — максимальное удельное давление на диске. На фиг. 4, а приведена зависимость от числа Маха безразмерного времени нарастания силы. Штриховой линией изображена эмпирическая зависимость

$$(3.2) \quad \tau_{\max} = \frac{v_0 t}{R} = \frac{v_0}{a(P)}$$

точками 1 — результаты по входу в воду, точками 2 — по входу в среду с низкой скоростью звука. Из графика видно, что продолжительности процессов нарастания силы, определенные при входе диска с малой скоростью в среду с низкой скоростью звука и при входе диска в воду с большой скоростью, удовлетворительно согласуются между собой и с достаточной точностью описываются формулой (3.2). Таким образом, на основании всех приведенных данных можно утверждать, что эксперименты по входу дисков в среду с низкой скоростью звука правильно описывают как величину, так и характер нарастания силы и подтверждают справедливость предложенной в [2] методики моделирования сжимаемости жидкости.

На фиг. 5 приведены зависимости максимальных значений ударных коэффициентов сопротивления диска 1, тупых конусов с углами раствора 170, 160, 150° (2—4) и полусферы 5 от числа Маха. Пунктирные линии соответствуют акустическим решениям (при $0 < M < \text{tg } \beta$ — решение [4], при $M > \text{tg } \beta$ — решение [5], где β — угол образующей конуса со свободной поверхностью), сплошные линии — экспериментальными результатами, обчисленным методом наименьших квадратов. При $M=0$ на графиках квадратиками нанесены экспериментальные точки, соответствующие входу конусов и полусферы в несжимаемую жидкость [8—10]. Эти графики дают общую картину зависимости от числа Маха максимальных ударных нагрузок, действующих на тупые тела, а также позволяют установить область применимости акустических решений.



Фиг. 5

растания силы τ_{\max} на тупых конусах с углами раствора 170 (1), 160 (2) и 150° (3) от числа Маха. Штриховой линией нанесены результаты акустических решений [4, 5], сплошной линией — результаты экспериментов, обчисленные методом наименьших квадратов. При $M=0$ квадратиками нанесены экспериментальные значения τ_{\max} при входе в несжимаемую жидкость. Из графиков видно, что решение [4], построенное для дозвуковой скорости расширения смоченной поверхности конусов ($0 < M < \text{tg } \beta$), хорошо согласуется с экспериментальными данными. При сверхзвуковой схеме расширения смоченной поверхности конусов ($M > \text{tg } \beta$), согласно работе [5], величина τ_{\max} перестает зависеть от числа Маха и должна оставаться постоянной, равной отношению высоты кони-

На фиг. 4, б построены зависи-

мости безразмерного времени на-

растания силы τ_{\max} на тупых конусах с углами раствора 170 (1), 160 (2)

и 150° (3) от числа Маха. Штриховой линией нанесены результаты

акустических решений [4, 5], сплошной линией — результаты экспери-

ментов, обчисленные методом наименьших квадратов. При $M=0$ квад-

ратиками нанесены экспериментальные значения τ_{\max} при входе в не-

сжимаемую жидкость. Из графиков видно, что решение [4], построенное

для дозвуковой скорости расширения смоченной поверхности конусов

ческой части модели к ее радиусу (в экспериментах уменьшение скорости моделей к моменту достижения силой максимума не превосходило 1%, т. е. влияние изменения скорости модели на величину τ_{\max} несущественно). Однако, как показали эксперименты, при $M > \text{tg } \beta$ время нарастания силы продолжает увеличиваться и при больших числах Маха приближается к соответствующему времени для диска, т. е. имеет место непрерывный переход от тупых конусов к диску как по величине максимальной силы, так и по времени ее нарастания.

На фиг. 5 наряду с конусами приведена зависимость C_x^{\max} от числа Маха для полусферы. При $M=0$ квадратиком нанесена экспериментальная точка, соответствующая входу полусферы в несжимаемую жидкость [9, 10]. Зависимость C_x^{\max} от числа Маха является довольно слабой, хотя влияние сжимаемости в начальной стадии удара весьма существенно. Зависимость безразмерного времени нарастания силы до максимума от числа Маха для полусферы по результатам проведенных экспериментов близка к линейной и может быть представлена в виде

$$\tau_{\max} = 0.07 + 0.62M, \quad 0 < M < 0.7.$$

Поступила 31 V 1979

ЛИТЕРАТУРА

1. Седов Л. И. Методы подобия и размерности в механике. М., «Наука», 1972.
2. Якимов Ю. Л., Ерошин В. А., Романенков Н. И. Моделирование движения тела в воде с учетом ее сжимаемости. В сб. Некоторые вопросы механики сплошной среды. М., Изд-во Моск. ун-та, 1978.
3. Поручиков В. В. Удар диска по поверхности идеальной сжимаемой жидкости. ПММ, 1964, т. 28, вып. 4.
4. Поручиков В. В. Проникание конуса в сжимаемую жидкость. ПММ, 1973, т. 37, вып. 1.
5. Скалак, Фейт. Удар о поверхность сжимаемой жидкости. Конструирование и технология машиностроения, 1966, т. 88, № 3.
6. Серебряков И. В. Устройство для определения ускорения. Авт. свид. № 638897. Открытия, изобретения, пром. образцы и товарные знаки, 1978, № 47.
7. Яковлев Ю. С. Гидродинамика взрыва. Л., Судпромгиз, 1961.
8. Логвинович Г. В. Гидродинамика течений со свободными границами. Киев, «Наукова думка», 1969.
9. Шорыгин О. П. Погружение в жидкость тел вращения простейших форм под углом к свободной поверхности, В сб. Неустановившиеся течения воды с большими скоростями. М., «Наука», 1973.
10. Логов А. Б. Об ударе шара о поверхность воды. Уч. зап. ЦАГИ, 1971, т. 2, вып. 4.